

Datenstrukturen und Algorithmen

Zusammenfassung der Vorlesungen 13-19

Prof. Dr. Erika Ábrahám

Theorie Hybrider Systeme
Informatik 2

[http://ths.rwth-aachen.de/teaching/ss-14/
datenstrukturen-und-algorithmen/](http://ths.rwth-aachen.de/teaching/ss-14/datenstrukturen-und-algorithmen/)

Diese Präsentation verwendet in Teilen Folien von Joost-Pieter Katoen.

17. Juni 2014



Übersicht

- 1 Graphen
- 2 Minimale Spannbäume
- 3 Kürzeste Pfade
- 4 Maximale Flüsse
- 5 Dynamische Programmierung
- 6 Algorithmische Geometrie

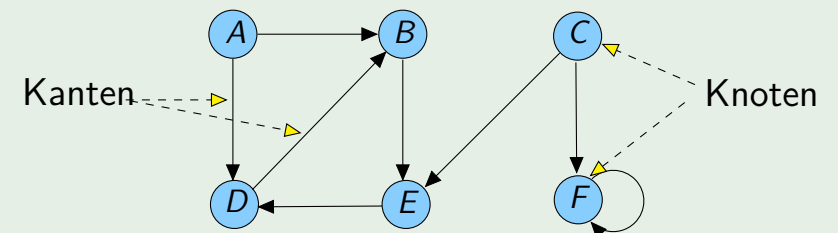
Übersicht

- 1 Graphen
- 2 Minimale Spannbäume
- 3 Kürzeste Pfade
- 4 Maximale Flüsse
- 5 Dynamische Programmierung
- 6 Algorithmische Geometrie

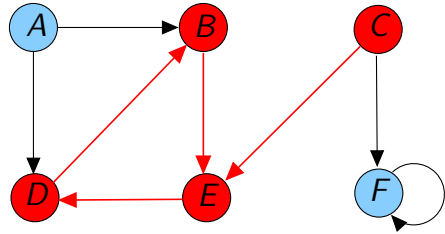
Gerichteter Graph

Beispiel

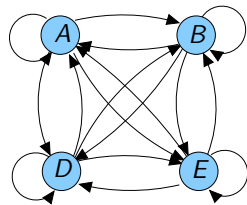
- ▶ $V = \{A, \dots, F\}$
- ▶ $E = \{(A, B), (A, D), (B, E), (C, E), (C, F), (D, B), (E, D), (F, F)\}$



Terminologie bei Graphen

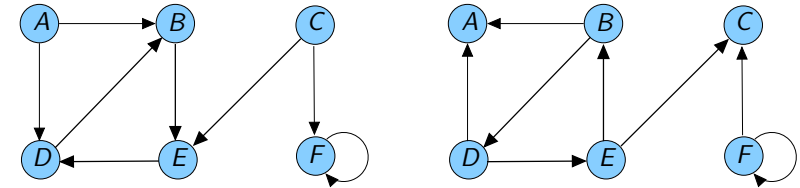


Beispiel: Rote Knoten und Kanten bilden einen Teilgraphen



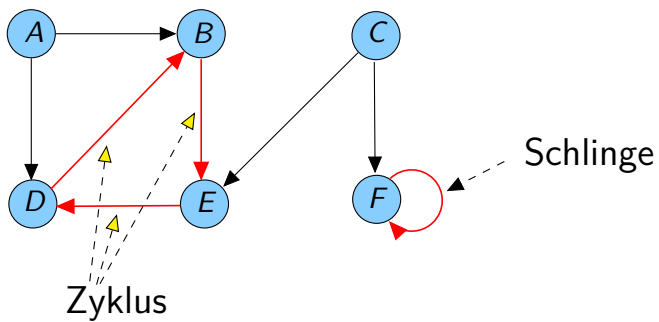
Beispiel: Vollständiger symmetrischer Digraph

Terminologie bei Graphen



Beispiel: Ein Graph und sein transponierter Graph

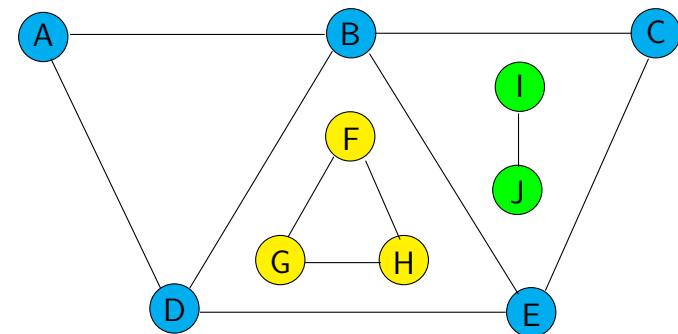
Pfade und Zyklen



ABEDB und *FFF* sind Pfade.

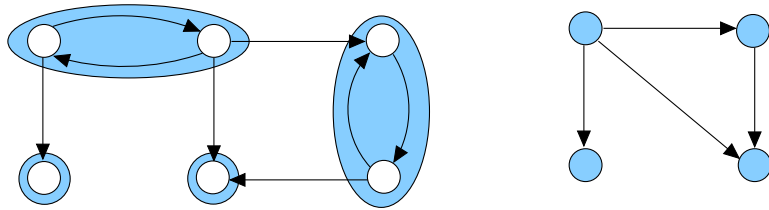
EDB und *CF* sind einfache Pfade.

Ungerichtete, zusammenhängende Graphen



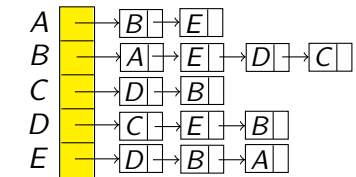
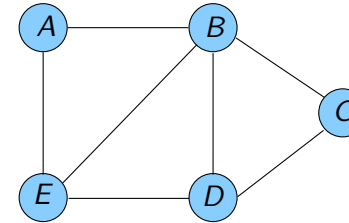
Beispiel: Die Zusammenhangskomponenten eines ungerichteten Graphen.

Starke Zusammenhangskomponenten, Kondensationsgraph



Ein Digraph, seine SCCs und sein Kondensationsgraph.

Darstellung eines ungerichteten Graphen

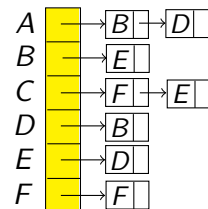
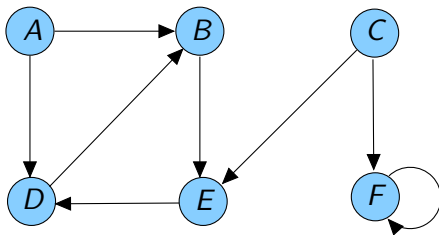


Adjazenzliste

$$\begin{bmatrix} 0 & 1 & 0 & 0 & 1 \\ 1 & 0 & 1 & 1 & 1 \\ 0 & 1 & 0 & 1 & 0 \\ 0 & 1 & 1 & 0 & 1 \\ 1 & 1 & 0 & 1 & 0 \end{bmatrix}$$

Adjazenzmatrix

Darstellung eines gerichteten Graphen



Adjazenzliste

$$\begin{bmatrix} 0 & 1 & 0 & 1 & 0 & 0 \\ 0 & 0 & 0 & 0 & 1 & 0 \\ 0 & 0 & 0 & 0 & 1 & 1 \\ 0 & 1 & 0 & 0 & 0 & 0 \\ 0 & 0 & 0 & 1 & 0 & 0 \\ 0 & 0 & 0 & 0 & 0 & 1 \end{bmatrix}$$

Adjazenzmatrix

Graphendurchlauf

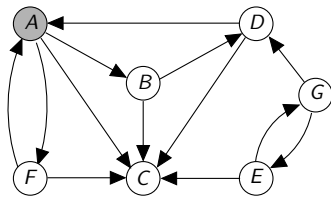
Graphendurchlaufstrategien

- ▶ Tiefensuche
- ▶ Breitensuche

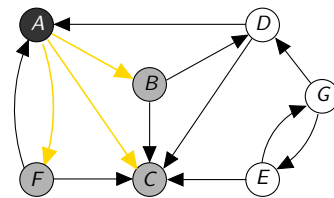
In Adjazenzlisten-Darstellung:

Zeitkomplexität $\mathcal{O}(|V| + |E|)$, Platzbedarf $\Theta(|V|)$.

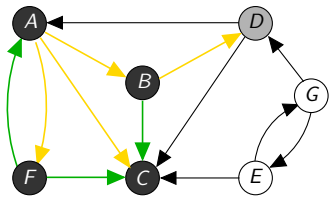
Breitensuche: Beispiel



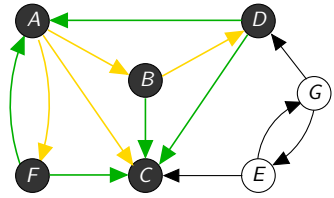
Beginn der Breitensuche



Erforsche alle folgenden nicht-gefundenen Knoten



Erforsche alle folgenden nicht-gefundenen Knoten

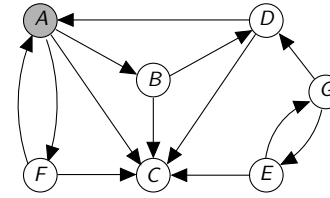


Fertig!

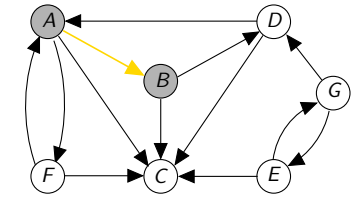
Anwendungen der Tiefensuche

- ▶ Erreichbarkeitsanalyse
- ▶ CCs in ungerichteten Graphen
- ▶ SCCs in gerichteten Graphen
- ▶ Topologische Sortierung in gerichteten azyklischen Graphen
- ▶ Kritische-Pfad-Analyse in gewichteten gerichteten azyklischen Graphen

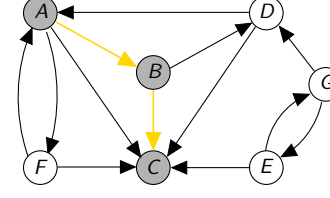
Tiefensuche: Beispiel



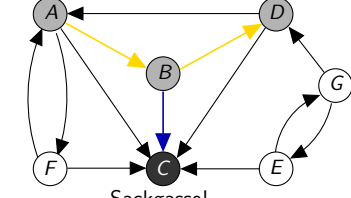
Beginn der Tiefensuche



Erforsche einen Knoten



Erforsche einen Knoten

Sackgasse!
Backtracke und erforsche den nächsten Knoten...

CCs in ungerichteten Graphen

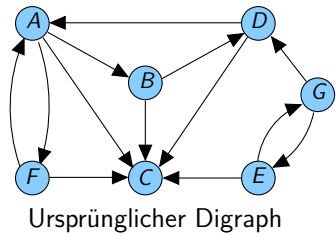
Problem

Finde die Zusammenhangskomponenten (CCs) eines **ungerichteten** Graphen G .

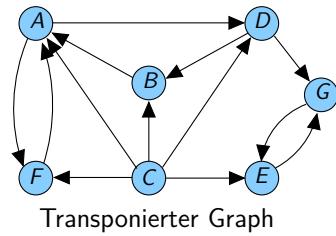
Lösung

- ▶ Finden des CCs eines Knotens v :
Verwende Tiefen- oder Breitensuche, um alle aus v erreichbaren Knoten zu bestimmen.
- ▶ Die Zeitkomplexität ist $\mathcal{O}(|V| + |E|)$.

SCCs in gerichteten Graphen: Sharir's Algorithmus



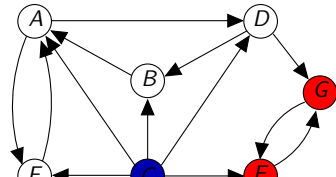
Ursprünglicher Digraph



Transponierter Graph

E
G
A
F
B
D
C

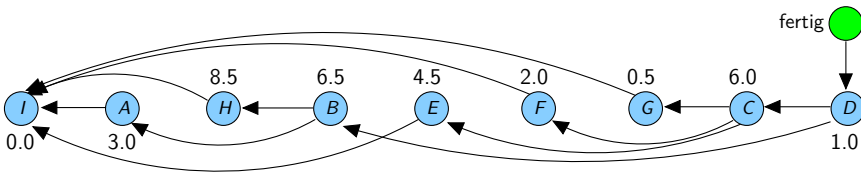
Stack am Ende der Phase 1



In Phase 2 gefundene starke Komponenten

Zeitkomplexität: $\mathcal{O}(|V| + |E|)$, Speicherkomplexität: $\mathcal{O}(|V|)$.

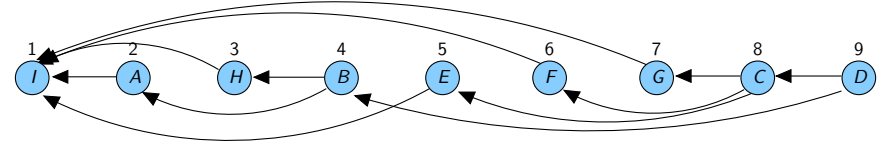
Kritische-Pfad-Analyse



I	A	H	B	E	F	G	C	D
wake up	choose clothes	shower	dress	make coffee	make toast	pour juice	eat breakf	leave
0.0	3.0	8.5	6.5	4.5	2.0	0.5	6.0	1.0

Dauer

Topologische Sortierung

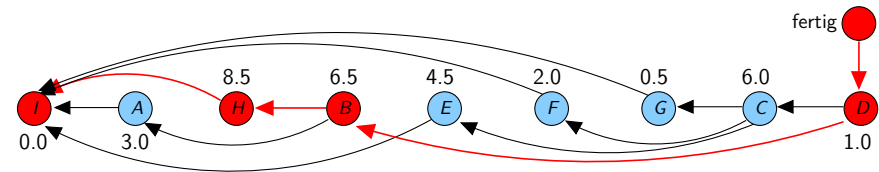


I	A	H	B	E	F	G	C	D
wake up	choose clothes	shower	dress	make coffee	make toast	pour juice	eat breakf	leave

Abhängigkeitsgraph, der topologischen Ordnung entsprechend gezeichnet.

Zeitkomplexität: $\mathcal{O}(|V| + |E|)$

Kritische-Pfad-Analyse



I	A	H	B	E	F	G	C	D
wake up	choose clothes	shower	dress	make coffee	make toast	pour juice	eat breakf	leave
0.0	3.0	8.5	6.5	4.5	2.0	0.5	6.0	1.0

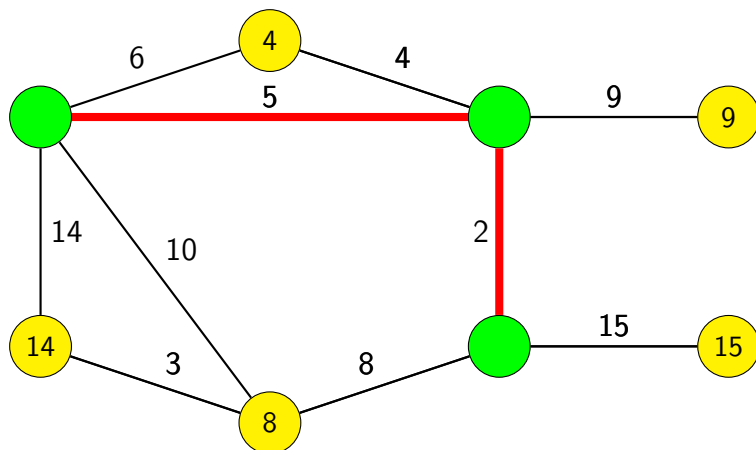
Dauer

► $eft = 1 + 6.5 + 8.5 + 0 = 16$.

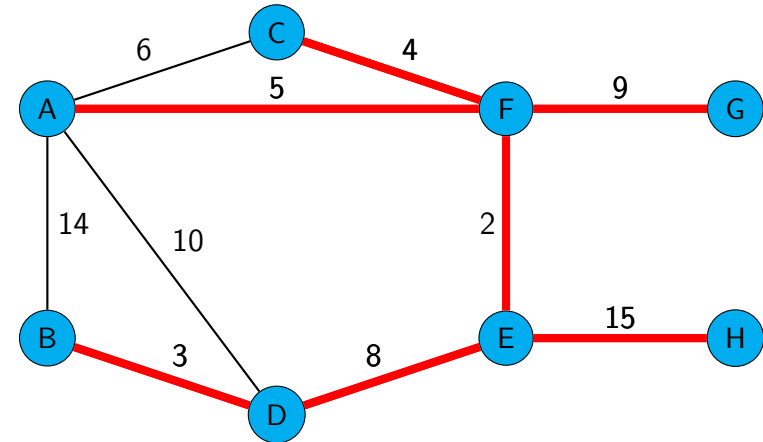
Übersicht

- 1 Graphen
- 2 **Minimale Spannäume**
- 3 Kürzeste Pfade
- 4 Maximale Flüsse
- 5 Dynamische Programmierung
- 6 Algorithmische Geometrie

Prim's Algorithmus



Minimaler Spannbaum



Das ist ein minimaler Spannbaum (mit Gesamtgewicht 46).
In diesem Fall ist es auch der einzige.

Drei Prioritätswarteschlangenimplementierungen

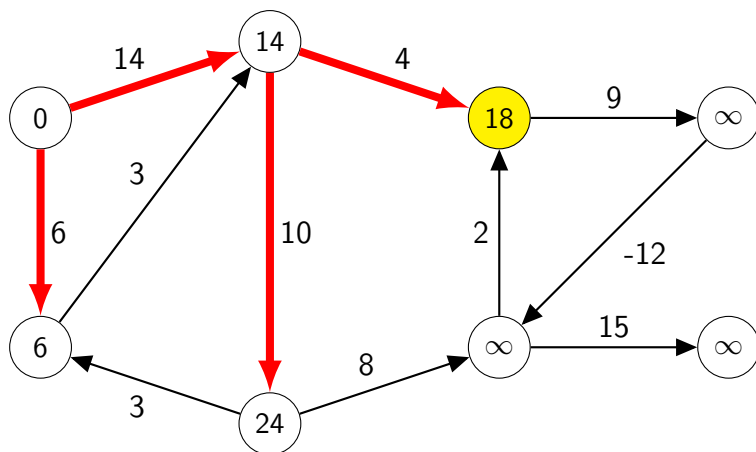
$$T(n, m) \in \mathcal{O}(n \cdot T(\text{insert}) + n \cdot T(\text{getMin}) + n \cdot T(\text{delMin}) + m \cdot T(\text{decrKey}))$$

Operation	Implementierung		
	unsortiertes Array	sortiertes Array	Heap
isEmpty()	$\Theta(1)$	$\Theta(1)$	$\Theta(1)$
insert(e, k)	$\Theta(1)$	$\Theta(n)$	$\Theta(\log n)$
getMin()	$\Theta(n)$	$\Theta(1)$	$\Theta(1)$
delMin()	$\Theta(n)$	$\Theta(1)$	$\Theta(\log n)$
decrKey(e, k)	$\Theta(1)$	$\Theta(n)$	$\Theta(\log n)$
Prim	$\mathcal{O}(n^2 + m)$	$\mathcal{O}(n^2 + m \cdot n)$	$\mathcal{O}(n \log n + m \log n)$

Übersicht

- 1 Graphen
- 2 Minimale Spannbäume
- 3 **Kürzeste Pfade**
- 4 Maximale Flüsse
- 5 Dynamische Programmierung
- 6 Algorithmische Geometrie

Single-Source Shortest Paths: Bellman-Ford



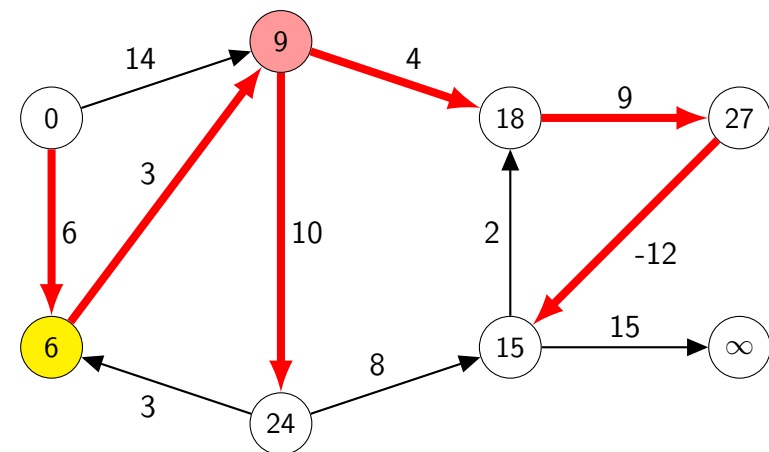
Zeitkomplexität: $\mathcal{O}(|V| \cdot |E|)$.

Kürzeste Pfade

Kürzeste-Pfade-Probleme:

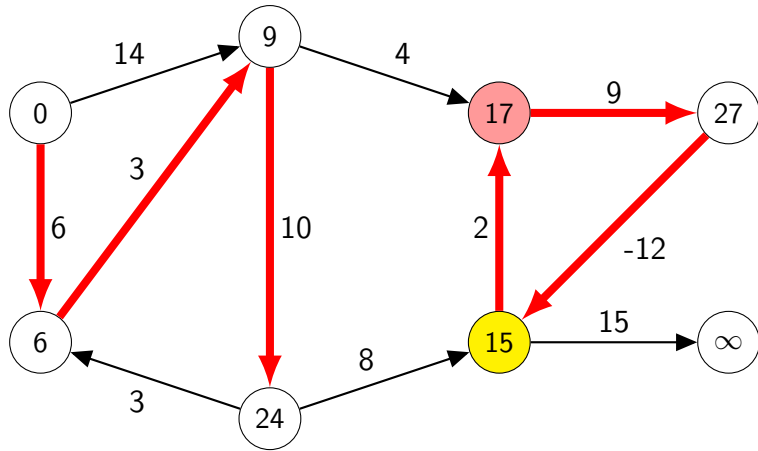
- ▶ **Kürzeste Pfade** von einem Startknoten s zu allen anderen Knoten: **Single-Source Shortest Paths** (SSSP).
- ▶ **Kürzeste Pfade** von allen Knoten zu einem Zielknoten t .
Lässt sich auf SSSP zurückführen.
- ▶ **Kürzeste Pfade** für *ein* festes Knotenpaar u, v .
Es ist kein Algorithmus bekannt, der asymptotisch schneller als der beste SSSP-Algorithmus ist.
- ▶ **Kürzeste Pfade** für *alle* Knotenpaare.
All-Pairs Shortest Paths.

Single-Source Shortest Paths: Bellman-Ford



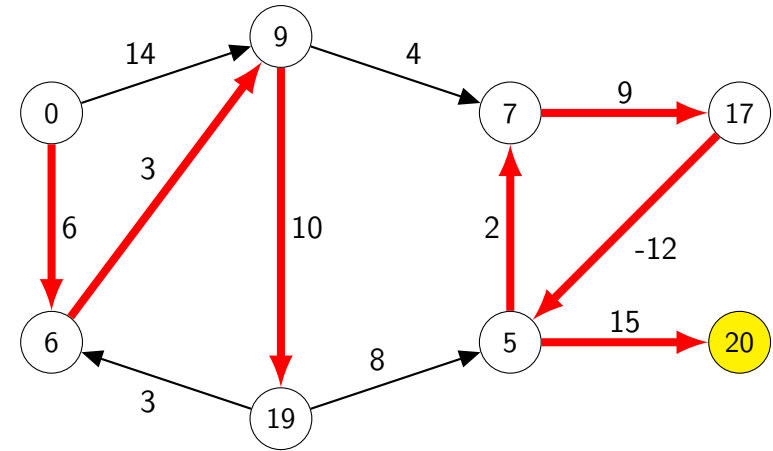
Zeitkomplexität: $\mathcal{O}(|V| \cdot |E|)$.

Single-Source Shortest Paths: Bellman-Ford



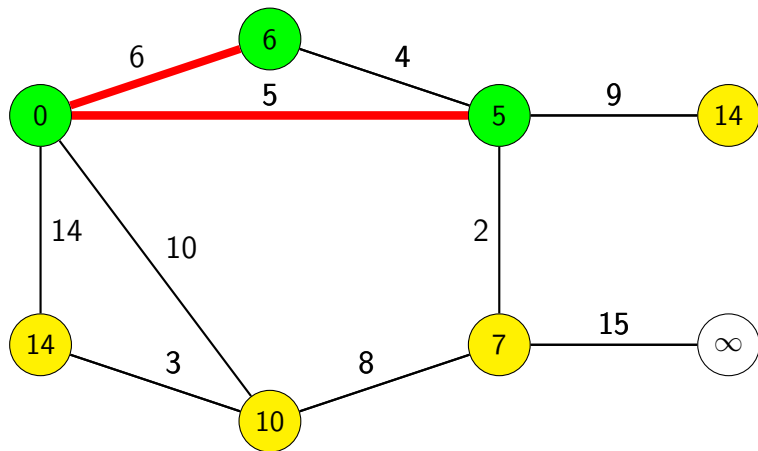
Zeitkomplexität: $\mathcal{O}(|V| \cdot |E|)$.

Single-Source Shortest Paths: Bellman-Ford



Zeitkomplexität: $\mathcal{O}(|V| \cdot |E|)$.

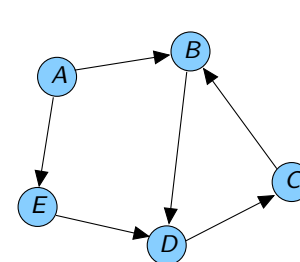
Single-Source Shortest Paths: Dijkstra



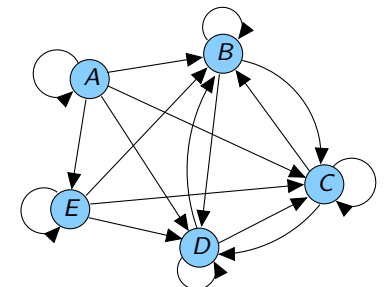
Zeitkomplexität: $\mathcal{O}(|V|^2)$, Platzkomplexität: $\mathcal{O}(|V|)$.

Transitive Hülle: Warshall

$$R = \begin{bmatrix} 0 & 1 & 0 & 0 & 1 \\ 0 & 0 & 0 & 1 & 0 \\ 0 & 1 & 0 & 0 & 0 \\ 0 & 0 & 1 & 0 & 0 \\ 0 & 0 & 0 & 1 & 0 \end{bmatrix} \text{ und die transitive Hülle } R^* = \begin{bmatrix} 1 & 1 & 1 & 1 & 1 \\ 0 & 1 & 1 & 1 & 0 \\ 0 & 1 & 1 & 1 & 0 \\ 0 & 1 & 1 & 1 & 0 \\ 0 & 1 & 1 & 1 & 1 \end{bmatrix}$$

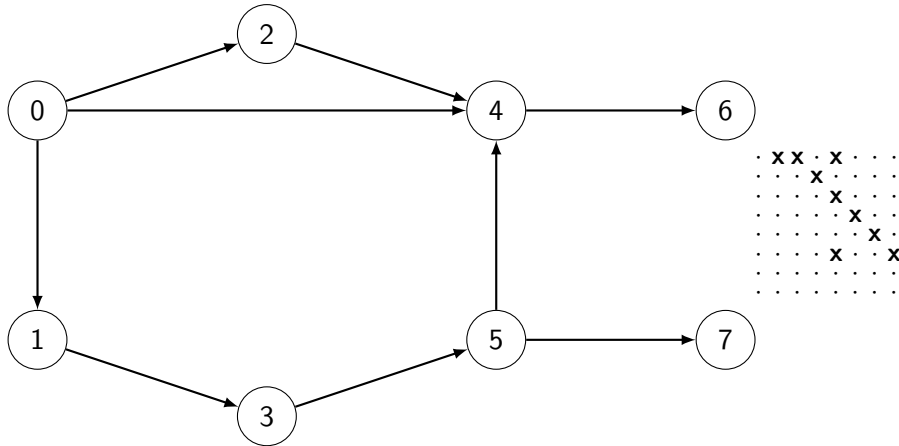


Binäre Relation R

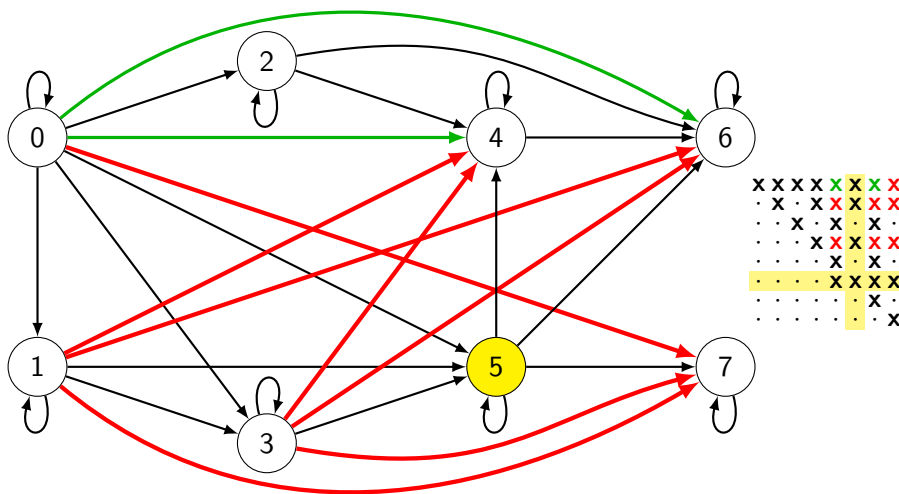


Transitive Hülle R*

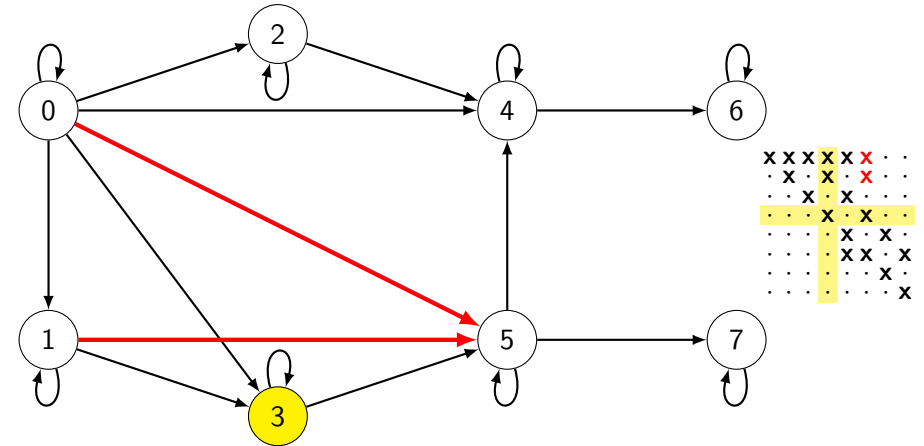
Transitive Hülle: Warshall



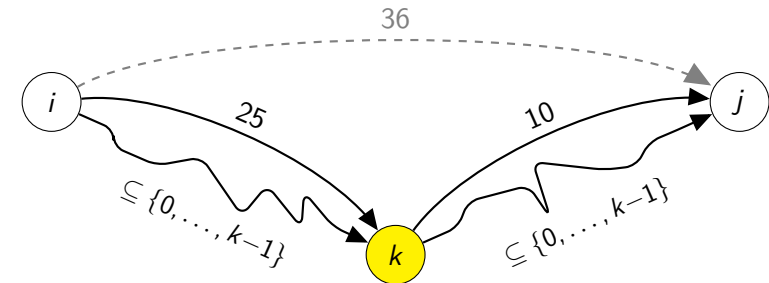
Transitive Hülle: Warshall



Transitive Hülle: Warshall



All-Pairs Shortest Paths: Floyd



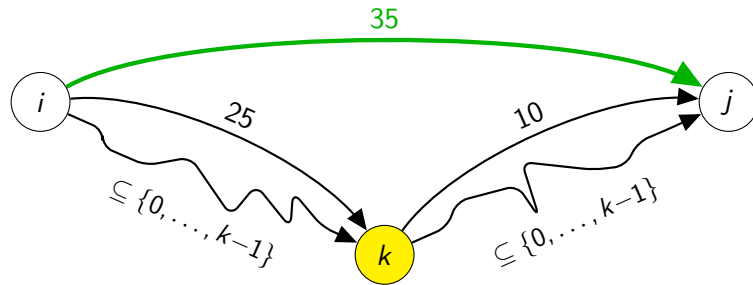
► Vorgehen wie bei Warshall, jedoch mit folgender Rekursionsgleichung:

$$d_{ij}^{(k)} = \begin{cases} W(i,j) & \text{für } k = 0 \\ \min(d_{ij}^{(k-1)}, d_{ik}^{(k-1)} + d_{kj}^{(k-1)}) & \text{für } k > 0 \end{cases}$$

(statt: $t_{ij}^{(k-1)} \vee (t_{ik}^{(k-1)} \wedge t_{kj}^{(k-1)})$)

► Auch hier arbeiten wir direkt im Ausgabearray: $D[i,j] = d_{ij}^{(\cdot)}$.

All-Pairs Shortest Paths: Floyd



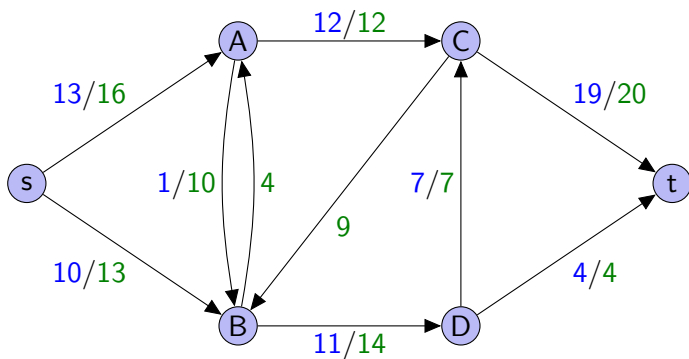
► Vorgehen wie bei Warshall, jedoch mit folgender Rekursionsgleichung:

$$d_{ij}^{(k)} = \begin{cases} W(i, j) & \text{für } k = 0 \\ \min(d_{ij}^{(k-1)}, d_{ik}^{(k-1)} + d_{kj}^{(k-1)}) & \text{für } k > 0 \end{cases}$$

(statt: $t_{ij}^{(k-1)} \vee (t_{ik}^{(k-1)} \wedge t_{kj}^{(k-1)})$)

► Auch hier arbeiten wir direkt im Ausgabearray: $D[i, j] = d_{ij}^{(\cdot)}$.

Maximaler Fluss: Beispiel



- Ein maximaler Fluss in diesem Beispiel hat den Wert $|f| = 23$.
- Es kann mehrere maximale Flüsse geben.

Übersicht

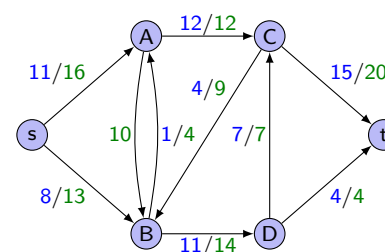
- 1 Graphen
- 2 Minimale Spannäume
- 3 Kürzeste Pfade
- 4 Maximale Flüsse
- 5 Dynamische Programmierung
- 6 Algorithmische Geometrie

Maximaler Fluss: Ford-Fulkerson

Algorithmus

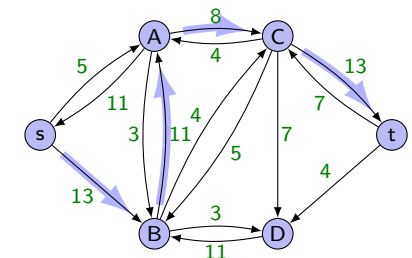
```

Initialisiere Fluss f zu 0
while es gibt einen augmentierenden Pfad p
  do augmentiere f entlang p // f := f + f_p
return f
    
```



Flussnetzwerk G

Laufzeit: $\mathcal{O}(E \cdot |f^*|)$.

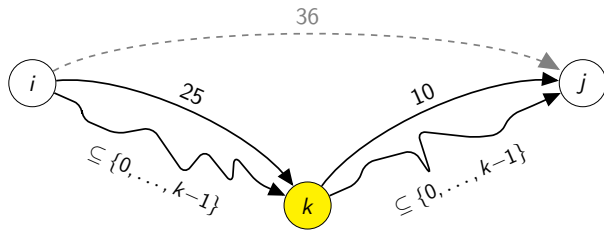


Restnetzwerk G_f

Übersicht

- 1 Graphen
- 2 Minimale Spannbäume
- 3 Kürzeste Pfade
- 4 Maximale Flüsse
- 5 **Dynamische Programmierung**
- 6 Algorithmische Geometrie

Rekursionsgleichungen: Floyd-Warshall



Sei $d_{ij}^{(k)}$ die Länge eines kürzesten Pfades von i nach j über Knoten in der Menge $\{0, 1, \dots, k\}$.

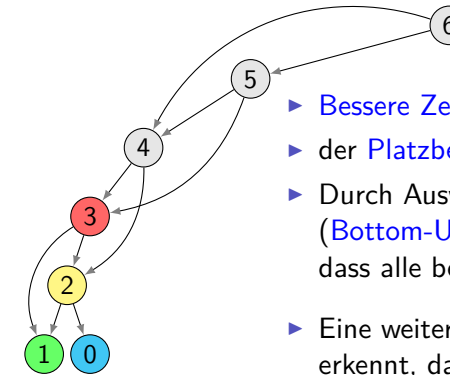
Rekursionsgleichung die dem Algorithmus zur Grunde liegt:

$$d_{ij}^{(k)} = \begin{cases} W(i, j) & \text{für } k = 0 \\ \min(d_{ij}^{(k-1)}, d_{ik}^{(k-1)} + d_{kj}^{(k-1)}) & \text{für } k > 0 \end{cases}$$

- ▶ Top-down Abhängigkeit: $d_{ij}^{(k)}$ hängt von $d_{ij}^{(k-1)}$ ab.
- ▶ Bottom-up Berechnung: $d_{ij}^{(0)}, d_{ij}^{(1)}, d_{ij}^{(2)}, \dots$ usw.

Memoization: Dynamische Programmierung

▶ Memoization hilft, wenn die Teilprobleme überlappen.

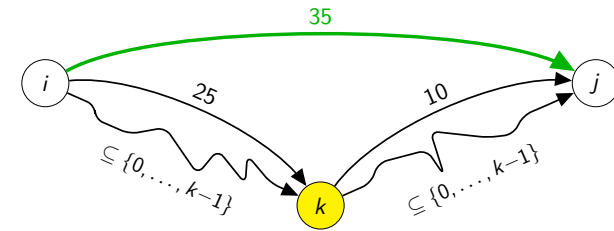


Abhängigkeitsgraph

- ▶ **Bessere Zeit-Komplexität:** $\Theta(n)$ statt $\Theta(2^n)$, aber
- ▶ der **Platzbedarf wächst** dabei auf $\Theta(n)$.
- ▶ Durch Auswertung von unten-nach-oben (**Bottom-Up**) kann sogar sichergestellt werden, dass alle benötigten Werte bereits berechnet sind.
- ▶ Eine weitere Verbesserung ergibt sich, indem man erkennt, dass hier jeweils nur die **zwei letzten** Werte benötigt werden (in-place).

⇒ Auf diesen Grundideen basiert die Dynamische Programmierung.

Rekursionsgleichungen: Floyd-Warshall



Sei $d_{ij}^{(k)}$ die Länge eines kürzesten Pfades von i nach j über Knoten in der Menge $\{0, 1, \dots, k\}$.

Rekursionsgleichung die dem Algorithmus zur Grunde liegt:

$$d_{ij}^{(k)} = \begin{cases} W(i, j) & \text{für } k = 0 \\ \min(d_{ij}^{(k-1)}, d_{ik}^{(k-1)} + d_{kj}^{(k-1)}) & \text{für } k > 0 \end{cases}$$

- ▶ Top-down Abhängigkeit: $d_{ij}^{(k)}$ hängt von $d_{ij}^{(k-1)}$ ab.
- ▶ Bottom-up Berechnung: $d_{ij}^{(0)}, d_{ij}^{(1)}, d_{ij}^{(2)}, \dots$ usw.

Dynamische Programmierung

Dynamische Programmierung kann man i. d. R. in vier Teile gliedern:

1. Charakterisiere die **Struktur** einer optimalen Lösung, und stelle fest ob diese DP ermöglicht.
 - ▶ Teilprobleme sind (teilweise) überlappend
 - ▶ Rekursive Abhängigkeit zwischen den Teilproblemen.
2. Stelle die **Rekursionsgleichung** (top-down) für den **Wert** der Lösung auf.
3. **Löse Rekursionsgleichung** bottom-up.
4. Bestimme aus dem Wert der Lösung die **Argumente** der Lösung. Rekonstruiere die Lösung.

Anwendung: Longest Common Subsequence

Sei $A_i = (a_1, \dots, a_i)$ der i -te Präfix von $A = (a_1, \dots, a_m)$ für $0 \leq i \leq m$.

Lemma (Optimale Teilstruktur)

1. Enden zwei Sequenzen mit dem selben Zeichen $a_m = b_n$, dann ist dieses Zeichen auch Teil der LCS:

$$LCS(A_m, B_n) = (LCS(A_{m-1}, B_{n-1}), a_m).$$

2. Andernfalls gilt entweder

$$LCS(A_m, B_n) = LCS(A_m, B_{n-1}) \quad \text{oder}$$

$$LCS(A_m, B_n) = LCS(A_{m-1}, B_n).$$

Insbesondere ist

$$|LCS(A_m, B_n)| = \max(|LCS(A_m, B_{n-1})|, |LCS(A_{m-1}, B_n)|).$$

Anwendungen

- ▶ Longest Common Subsequence (LCS)
- ▶ Ketten von Matrixmultiplikationen
- ▶ Das Rucksackproblem

Anwendung: Longest Common Subsequence

Wir können wieder die Rekursionsgleichung für den *Wert*, also die Länge der LCS aufstellen: $L[i, j] = |LCS(A_i, B_j)|$

$$L[i, j] = \begin{cases} 0 & \text{für } i = 0 \text{ oder } j = 0 \\ L[i-1, j-1] + 1 & \text{falls } a_i = b_j, i, j > 0 \\ \max(L[i, j-1], L[i-1, j]) & \text{falls } a_i \neq b_j, i, j > 0 \end{cases}$$

- ▶ Das lässt sich direkt als Algorithmus umsetzen.
- ▶ Dessen Laufzeit ist $O(|A| \cdot |B|)$, ebenso seine Platzkomplexität.

Anwendung: Matrixmultiplikation

$$\underbrace{(A_1 \cdot \dots \cdot A_k)}_{k \text{ Matrizen}} \cdot \underbrace{(A_{k+1} \cdot \dots \cdot A_n)}_{n-k \text{ Matrizen}}$$

$m[i, j]$ sei die **minimale** Anzahl Multiplikationen für die Teilkette $A_i \cdot \dots \cdot A_j$.

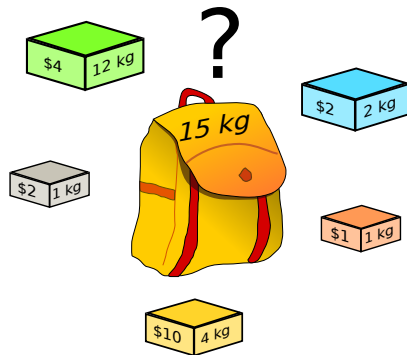
- ▶ Offenbar ist $m[i, i] = 0$ für alle $0 < i \leq n$.
- ▶ Die Dimension einer Teilkette ist $d_{i-1} \times d_j$.
- ▶ Teilen bei Position k ergibt: $m[i, j] = m[i, k] + d_{i-1} \cdot d_k \cdot d_j + m[k+1, j]$.
- ▶ Wir suchen dabei das **optimale** k , also:

$$m[i, j] = \begin{cases} 0 & \text{für } i = j, \\ \min_{i \leq k < j} (m[i, k] + m[k+1, j] + d_{i-1} \cdot d_k \cdot d_j) & \text{für } i < j. \end{cases}$$

Anwendung: Das Rucksackproblem

Das Rucksackproblem (0-1 Knapsack)

Gegeben sei ein Rucksack, mit maximaler Tragkraft M , sowie n Gegenstände, die sowohl ein Gewicht als auch einen Wert haben.
Nehme möglichst viel Wert mit, ohne den Rucksack zu überladen.



Anwendung: Matrixmultiplikation

Beispiel

Sei $A_0 \in \mathbb{R}^{30 \times 1}$, $A_1 \in \mathbb{R}^{1 \times 40}$, $A_2 \in \mathbb{R}^{40 \times 10}$, $A_3 \in \mathbb{R}^{10 \times 25}$.

$m[i, j] = \min(m[i, k] + m[k+1, j] + \dim[i] \cdot \dim[k+1] \cdot \dim[j+1]);$
 $\dim[] = \{30, 1, 40, 10, 25\};$

	0	1	2	3	
0	0	1200	700	1400	0 0 0
1		0	400	650	1 2
2			0	10 000	2
3				0	

- ▶ $((A_0 A_1) A_2) A_3$ benötigt 20 700 Multiplikationen.
- ▶ Rekonstruktion: $A_0 \cdot ((A_1 \cdot A_2) \cdot A_3)$ ist optimal – 1400 Multiplikationen.

Anwendung: Das Rucksackproblem

Wir wollen das Problem mittels dynamischer Programmierung lösen.

- ▶ Wir bestimmen zunächst c_{\max} :
- ▶ Angenommen wir kennen den maximalen Wert c'_{\max} des Rucksacks mit Tragkraft M' , bei dem nur die ersten $n-1$ Gegenstände berücksichtigt werden.
- ▶ Für c_{\max} stellt sich also die Frage, ob der n -te Gegenstand (Gewicht: w_{n-1} , Wert: c_{n-1}) mitgenommen wird.

Betrachten wir beide Fälle:

Ohne: c_{\max} wäre dann gleich c'_{\max} für $M' = M$.

Mit: c_{\max} wäre dann gleich $c'_{\max} + c_{n-1}$ für $M' = M - w_{n-1}$.
 Falls $M' < 0$, dann setzen wir $c'_{\max} = -\infty$ („geht nicht“).

⇒ Wähle den Fall mit dem größeren Wert.

Anwendung: Das Rucksackproblem

Sei also $C[i, j]$ der maximale Wert des Rucksacks mit Tragkraft j , wenn man nur die Gegenstände $\{0, \dots, i-1\}$ berücksichtigt.

Es ergibt sich folgende Rekursionsgleichung:

$$C[i, j] = \begin{cases} \max(C[i-1, j], c_{i-1} + C[i-1, j-w_{i-1}]) & \text{für } j < 0 \\ -\infty & \\ 0 & \text{für } i = 0, j \geq 0 \end{cases}$$

- ▶ Dann ist $c_{\max} = C[n, M]$.
- ▶ Diese Rekursionsgleichung lösen wir nun bottom-up, indem wir die Rucksäcke mit allen möglichen Gewichten $\{0, \dots, M\}$ berechnen, wenn wir jeweils einen weiteren Gegenstand hinzunehmen.

Übersicht

- 1 Graphen
- 2 Minimale Spannbäume
- 3 Kürzeste Pfade
- 4 Maximale Flüsse
- 5 Dynamische Programmierung
- 6 Algorithmische Geometrie

Anwendung: Das Rucksackproblem

Offen ist noch die Frage, *welche* Gegenstände ($S \subseteq G$) nun eigentlich mitgenommen werden müssen, um c_{\max} zu erreichen.

- ▶ Falls $C[i, j] = C[i-1, j]$ ist, dann wurde der Gegenstand nicht mitgenommen (auch bei $c_i = 0$).
- ▶ Ausgehend von $C[n, M]$ kann man somit (mit Hilfe der w_i) die Menge S **rekonstruieren** (in $\Theta(n)$).

Beispiel

$w[] = \{ 2, 12, 1, 1, 4 \}$, $c[] = \{ 2, 4, 2, 1, 10 \}$, $M = 15$

	0	1	2	3	4	5	6	7	8	9	10	11	12	13	14	15
0	0	0	0	0	0	0	0	0	0	0	0	0	0	0	0	0
1	0	0	2	2	2	2	2	2	2	2	2	2	2	2	2	2
2	0	0	2	2	2	2	2	2	2	2	2	2	4	4	6	6
3	0	2	2	4	4	4	4	4	4	4	4	4	4	6	6	8
4	0	2	3	4	5	5	5	5	5	5	5	5	5	6	7	8
5	0	2	3	4	10	12	13	14	15	15	15	15	15	15	15	15

Mathematische Hilfsmittel

Vektor, Skalarprodukt, Betrag, Determinante

- ▶ **Vektor** (im \mathbb{R}^n , insbesondere $n = 2$):

$$\vec{a} = \begin{bmatrix} a_1 \\ \vdots \\ a_n \end{bmatrix} = \begin{bmatrix} a_1 \\ a_2 \end{bmatrix} \quad \vec{b} = \begin{bmatrix} b_1 \\ \vdots \\ b_n \end{bmatrix} = \begin{bmatrix} b_1 \\ b_2 \end{bmatrix}$$

- ▶ **Skalarprodukt** (dot product):

$$\vec{a} \cdot \vec{b} = a_1 b_1 + a_2 b_2$$

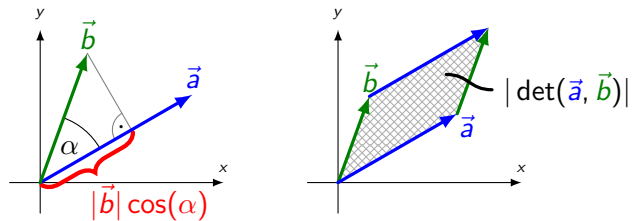
- ▶ **Betrag** (Länge):

$$|\vec{a}| = \sqrt{\vec{a} \cdot \vec{a}} = \sqrt{a_1^2 + a_2^2}$$

- ▶ **Determinante** für $A = [\vec{a}, \vec{b}] = \begin{bmatrix} a_1 & b_1 \\ a_2 & b_2 \end{bmatrix}$:

$$\det A = \det(\vec{a}, \vec{b}) = a_1 b_2 - a_2 b_1$$

Geometrische Interpretation

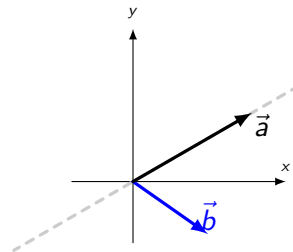


- ▶ Es gilt: $\vec{a} \cdot \vec{b} = a_1 b_1 + a_2 b_2 = |\vec{a}| |\vec{b}| \cos(\alpha)$. („Länge der Projektion“).
- ▶ Die **Fläche** (allgemein: Volumen) des durch \vec{a} und \vec{b} aufgespannten Parallelogramms ist gerade der Absolutwert der **Determinanten**. Oder: Die Determinante liefert eine **vorzeichenbehaftete Fläche**.

Winkelbestimmung

Problem

Liegt ein Vektor \vec{b} *links* oder *rechts* von einem gegebenen Vektor \vec{a} ?

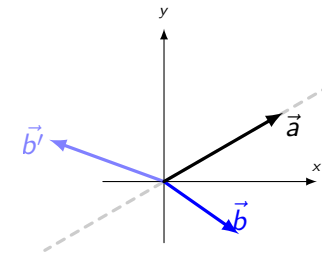


- ▶ Wir betrachten zunächst \vec{b} .

Winkelbestimmung

Problem

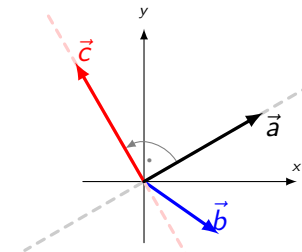
Liegt ein Vektor \vec{b} *links* oder *rechts* von einem gegebenen Vektor \vec{a} ?



Winkelbestimmung

Problem

Liegt ein Vektor \vec{b} *links* oder *rechts* von einem gegebenen Vektor \vec{a} ?

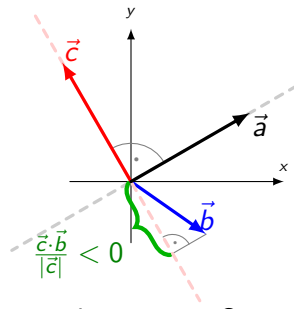


- ▶ Wir betrachten zunächst \vec{b} .
- ▶ Konstruiere \vec{c} , den zu \vec{a} im mathematisch positiven Sinn (Gegenuhrzeigersinn) um 90 Grad gedrehten Vektor.

Winkelbestimmung

Problem

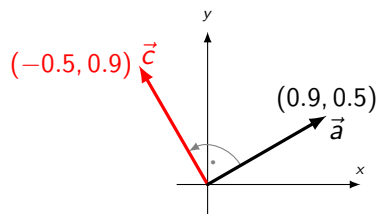
Liegt ein Vektor \vec{b} *links* oder *rechts* von einem gegebenen Vektor \vec{a} ?



- ▶ Wir betrachten zunächst \vec{b} .
- ▶ Konstruiere \vec{c} , den zu \vec{a} im mathematisch positiven Sinn (Gegenuhrzeigersinn) um 90 Grad gedrehten Vektor.
- ▶ Projiziere \vec{b} auf \vec{c} . Da \vec{b} *rechts* von \vec{a} liegt und damit von \vec{c} wegzeigt, ist $\vec{c} \cdot \vec{b}$ *negativ*.

Winkelbestimmung

Wie berechnet sich aber \vec{c} aus \vec{a} ?

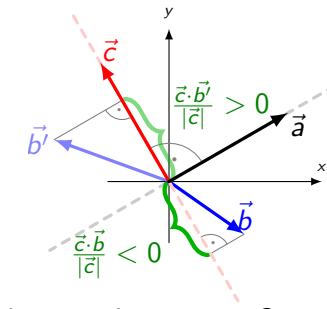


- ▶ Für $\vec{a} = (a_1, a_2)$ ist $\vec{c} = (c_1, c_2)$ gerade $(-a_2, a_1)$.

Winkelbestimmung

Problem

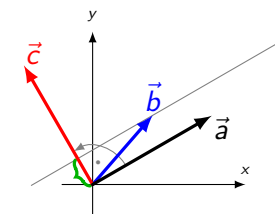
Liegt ein Vektor \vec{b} *links* oder *rechts* von einem gegebenen Vektor \vec{a} ?



- ▶ Wir betrachten zunächst \vec{b} .
- ▶ Konstruiere \vec{c} , den zu \vec{a} im mathematisch positiven Sinn (Gegenuhrzeigersinn) um 90 Grad gedrehten Vektor.
- ▶ Projiziere \vec{b} auf \vec{c} . Da \vec{b} *rechts* von \vec{a} liegt und damit von \vec{c} wegzeigt, ist $\vec{c} \cdot \vec{b}$ *negativ*.
- ▶ \vec{b}' dagegen liegt *links* von \vec{a} , daher ist $\vec{c} \cdot \vec{b}'$ *positiv*.

Winkelbestimmung

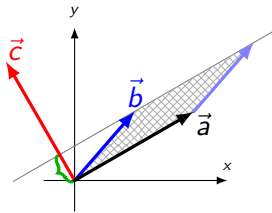
Wie berechnet sich aber \vec{c} aus \vec{a} ?



- ▶ Für $\vec{a} = (a_1, a_2)$ ist $\vec{c} = (c_1, c_2)$ gerade $(-a_2, a_1)$.
- ▶ Insgesamt ist damit $\vec{c} \cdot \vec{b} = c_1 b_1 + c_2 b_2 = -a_2 b_1 + a_1 b_2$

Winkelbestimmung

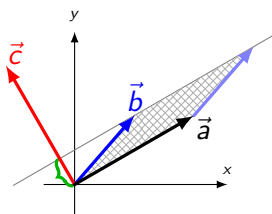
Wie berechnet sich aber \vec{c} aus \vec{a} ?



- ▶ Für $\vec{a} = (a_1, a_2)$ ist $\vec{c} = (c_1, c_2)$ gerade $(-a_2, a_1)$.
- ▶ Insgesamt ist damit $\vec{c} \cdot \vec{b} = c_1 b_1 + c_2 b_2 = -a_2 b_1 + a_1 b_2 = \det(\vec{a}, \vec{b})$.

Winkelbestimmung

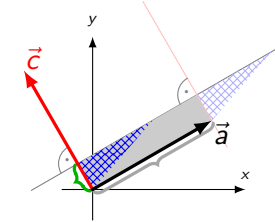
Wie berechnet sich aber \vec{c} aus \vec{a} ?



- ▶ Für $\vec{a} = (a_1, a_2)$ ist $\vec{c} = (c_1, c_2)$ gerade $(-a_2, a_1)$.
- ▶ Insgesamt ist damit $\vec{c} \cdot \vec{b} = c_1 b_1 + c_2 b_2 = -a_2 b_1 + a_1 b_2 = \det(\vec{a}, \vec{b})$.
- ▶ Ist $\det(\vec{a}, \vec{b}) = 0$, dann sind \vec{a} und \vec{b} parallel (bzw. antiparallel).
- ▶ Ist $\det(\vec{a}, \vec{b}) > 0$, dann liegt \vec{b} links von \vec{a} .
- ▶ Ist $\det(\vec{a}, \vec{b}) < 0$, dann liegt \vec{b} rechts von \vec{a} .

Winkelbestimmung

Wie berechnet sich aber \vec{c} aus \vec{a} ?

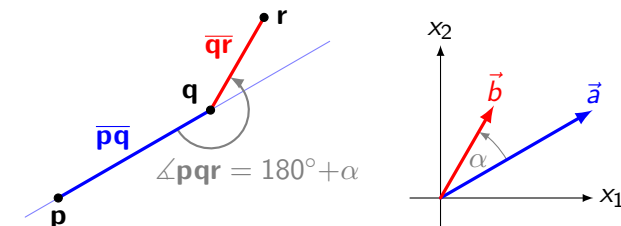


- ▶ Für $\vec{a} = (a_1, a_2)$ ist $\vec{c} = (c_1, c_2)$ gerade $(-a_2, a_1)$.
- ▶ Insgesamt ist damit $\vec{c} \cdot \vec{b} = c_1 b_1 + c_2 b_2 = -a_2 b_1 + a_1 b_2 = \det(\vec{a}, \vec{b})$.

Winkelbestimmung

Problem

Gegeben der Streckenzug (p, q, r) . Wird bei q nach *links* oder *rechts* abgelenkt? Oder: Ist der Winkel $\angle pqr > 180^\circ$ oder $< 180^\circ$?

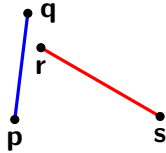


- ▶ Wir verwenden wieder die Determinante.
- ▶ Dazu berechnen wir $\vec{a} = \vec{d}_{pq} = q - p$ und $\vec{b} = \vec{d}_{qr} = r - q$.
- ▶ $\det(\vec{a}, \vec{b}) > 0$, falls der Knick nach *links* geht ($\angle pqr > 180^\circ$, $\alpha > 0$).
- ▶ Wenn r auf (der Verlängerung von) \overline{pq} liegt, dann ist $\det(\vec{a}, \vec{b}) = 0$ ($\angle pqr = 0^\circ$ oder $= 180^\circ$).

Schnitt zweier Strecken

Problem

Gegeben zwei Strecken \overline{pq} und \overline{rs} . Schneiden sich diese?

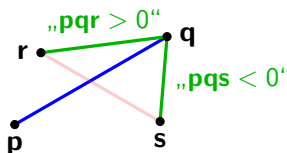


- ▶ Wir sind nicht an der Position des Schnittpunktes interessiert.
- ▶ Idee: Wir testen, ob die Endpunkte r und s auf verschiedenen Seiten von \overline{pq} liegen. Ebenso für p und q bezüglich \overline{rs} .

Schnitt zweier Strecken

Problem

Gegeben zwei Strecken \overline{pq} und \overline{rs} . Schneiden sich diese?

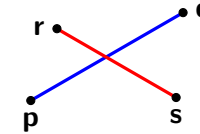


- ▶ Wir sind nicht an der Position des Schnittpunktes interessiert.
- ▶ Idee: Wir testen, ob die Endpunkte r und s auf verschiedenen Seiten von \overline{pq} liegen. Ebenso für p und q bezüglich \overline{rs} .

Schnitt zweier Strecken

Problem

Gegeben zwei Strecken \overline{pq} und \overline{rs} . Schneiden sich diese?

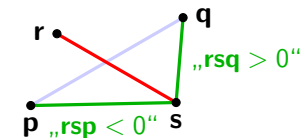


- ▶ Wir sind nicht an der Position des Schnittpunktes interessiert.
- ▶ Idee: Wir testen, ob die Endpunkte r und s auf verschiedenen Seiten von \overline{pq} liegen. Ebenso für p und q bezüglich \overline{rs} .

Schnitt zweier Strecken

Problem

Gegeben zwei Strecken \overline{pq} und \overline{rs} . Schneiden sich diese?

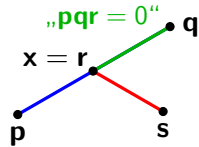


- ▶ Wir sind nicht an der Position des Schnittpunktes interessiert.
- ▶ Idee: Wir testen, ob die Endpunkte r und s auf verschiedenen Seiten von \overline{pq} liegen. Ebenso für p und q bezüglich \overline{rs} .

Schnitt zweier Strecken

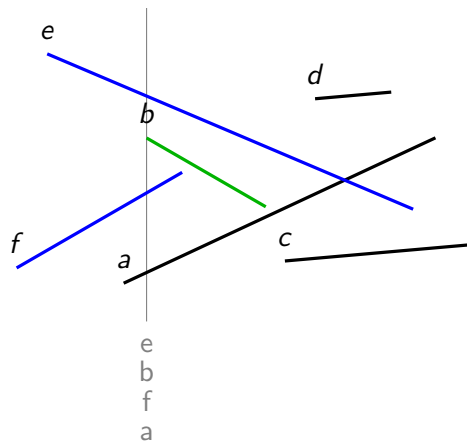
Problem

Gegeben zwei Strecken \overline{pq} und \overline{rs} . Schneiden sich diese?



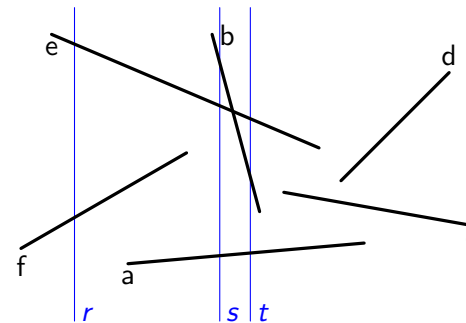
- ▶ Wir sind nicht an der Position des Schnittpunktes interessiert.
- ▶ Idee: Wir testen, ob die Endpunkte r und s auf verschiedenen Seiten von \overline{pq} liegen. Ebenso für p und q bezüglich \overline{rs} .
- ▶ Sonderfall: $\det = 0$. Der Endpunkt, etwa x , liegt also auf der Verlängerung von \overline{pq} (bzw. \overline{rs}). Es bleibt zu prüfen, ob x auch **zwischen** p und q liegt.

Schnitt eines beliebigen Streckenpaares: Sweepline



- ▶ Hier wurde der erste Schnitt **gefunden** (Algorithmus terminiert).
- ▶ Zeitkomplexität: $O(n \log n)$

Schnitt eines beliebigen Streckenpaares



Beispiel

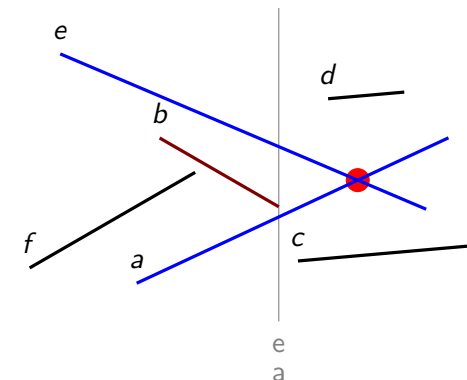
- ▶ $e >_r f$; sowie f mit a **nicht vergleichbar** bei r (usw.).
- ▶ $b >_s a$, $e >_s a$, $b >_s e$.
- ▶ $b >_t a$, $e >_t a$, $e >_t b$. (Der Schnitt vertauscht die Reihenfolge von e und b).

Vergleichbarkeit

Zwei Strecken s_1 und s_2 heißen **vergleichbar an der Stelle r** , wenn beide die vertikale Linie bei r (in der ersten Dimension) schneiden.

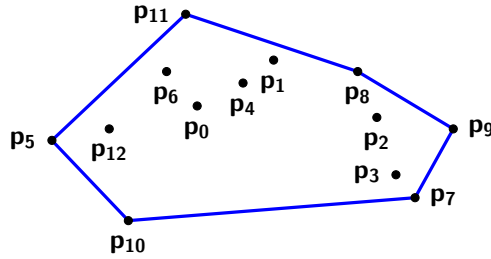
- ▶ Wenn s_1 an der Stelle r **über** s_2 liegt schreiben wir $s_1 >_r s_2$, sonst $s_2 >_r s_1$, bzw. $s_1 =_r s_2$.

Schnitt eines beliebigen Streckenpaares: Sweepline



- ▶ Hier wurde der erste Schnitt **gefunden** (Algorithmus terminiert).
- ▶ Zeitkomplexität: $O(n \log n)$

Konvexe Hülle

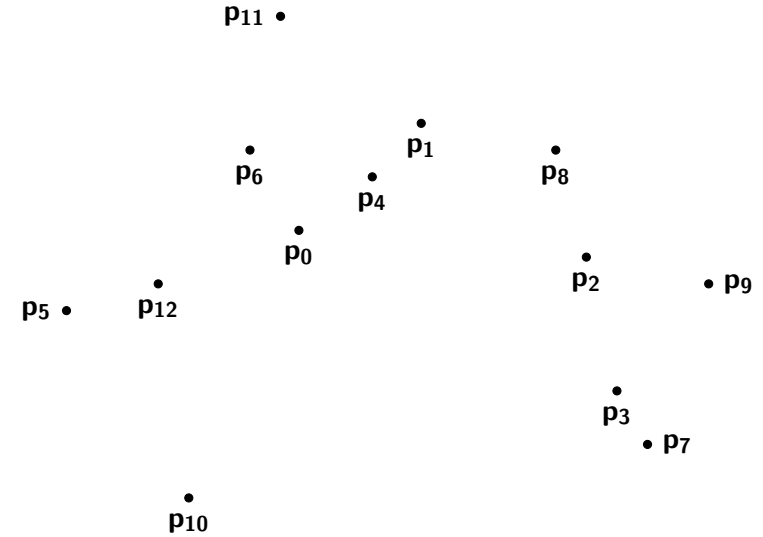


Konvexe Hülle

Die **konvexe Hülle** einer Menge Q von Punkten ist das kleinste konvexe Polygon P , für das sich jeder Punkt in Q entweder auf dem Rand von P oder in seinem Inneren befindet.

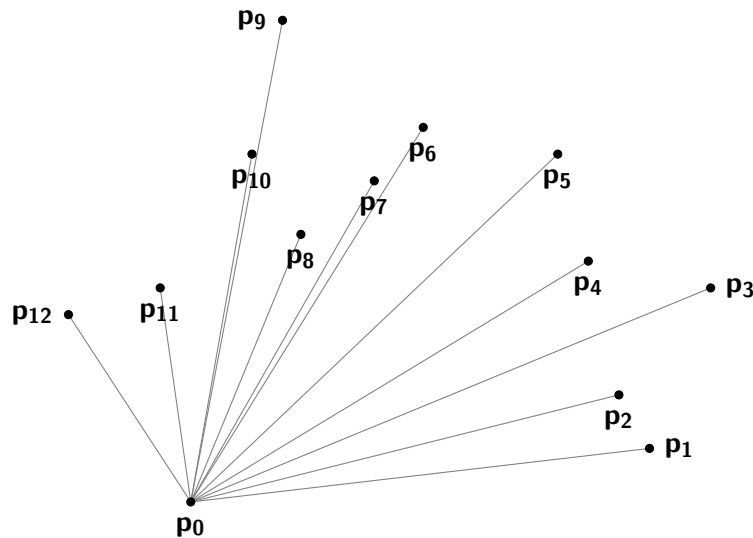
- ▶ Betrachte jeden Punkt als Nagel, der aus einem Brett herausragt.
- ▶ Die konvexe Hülle hat dann die Form, die durch ein straffes Gummiband gebildet wird, das alle Nägel umschließt.

Konvexe Hülle: Graham's Scan



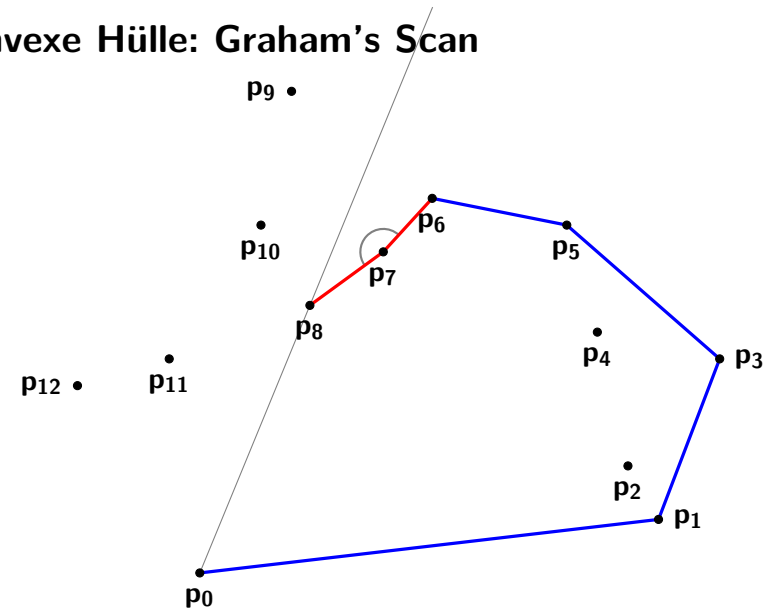
Zeitkomplexität: $\mathcal{O}(n \log n)$.

Konvexe Hülle: Graham's Scan



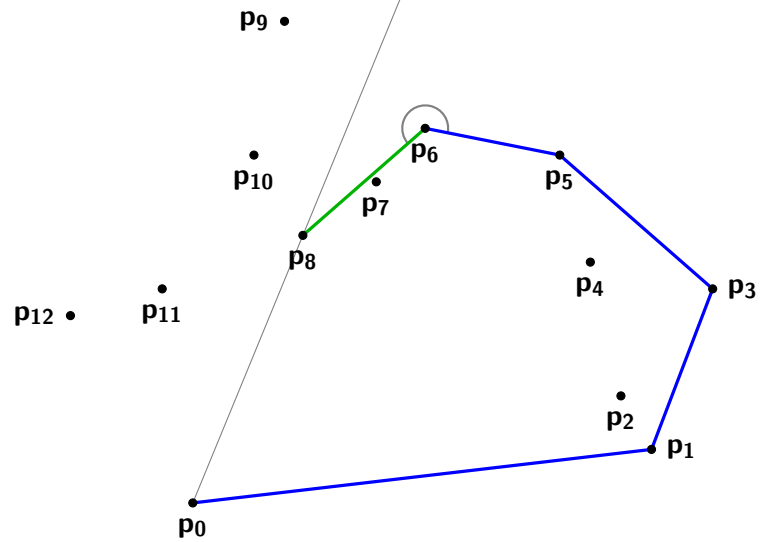
Zeitkomplexität: $\mathcal{O}(n \log n)$.

Konvexe Hülle: Graham's Scan



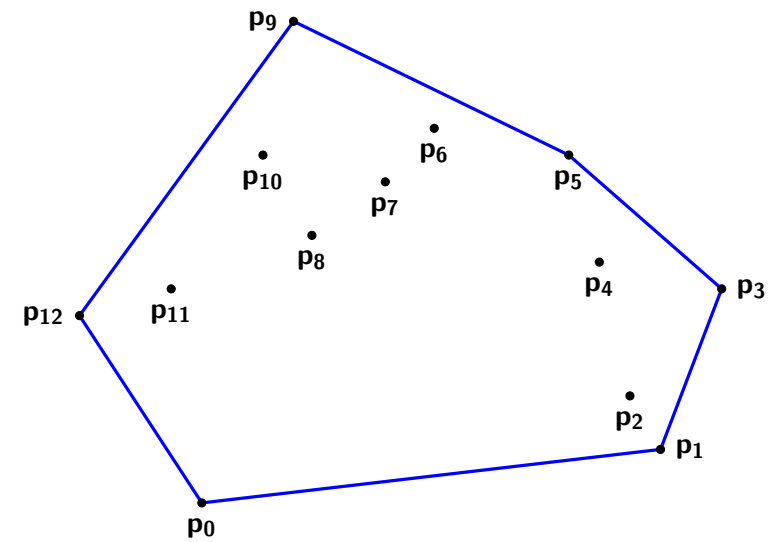
Zeitkomplexität: $\mathcal{O}(n \log n)$.

Konvexe Hülle: Graham's Scan



Zeitkomplexität: $\mathcal{O}(n \log n)$.

Konvexe Hülle: Graham's Scan



Zeitkomplexität: $\mathcal{O}(n \log n)$.